

## Règle d'or de Fermi

Les fluctuations du vide sont essentielles pour expliquer la relaxation spontanée

Pour prendre ces fluctuations en compte, on utilise la théorie des perturbations.

$$\begin{aligned}
 P_{e \rightarrow g} &= \frac{1}{2} \left| \int_0^t dt' \langle g | H_{\text{int}} | e \rangle e^{-i\omega t} \right|^2 \\
 S_{ge} &= \frac{W_{ge}}{\hbar} \left[ e^{i\varphi} \int_0^t dt' e^{i(\omega - \omega_0)t'} + e^{-i\varphi} \int_0^t dt' e^{-i(\omega + \omega_0)t'} \right] \\
 &= \frac{W_{ge}}{i\hbar} \left[ e^{-i\varphi} \frac{e^{i(\omega - \omega_0)t} - 1}{i(\omega - \omega_0)} - e^{-i\varphi} \frac{e^{-i(\omega + \omega_0)t} - 1}{i(\omega + \omega_0)} \right] \\
 P_{e \rightarrow g} &= \frac{|W_{ge}|^2}{\hbar^2} t^2 (\delta t/2) \quad t_0 = 0
 \end{aligned}$$

Pour tenir compte du champ électromagnétique :

$$\mathcal{H}_a \rightarrow \mathcal{H}_a \otimes \mathcal{H}_\gamma \quad |e\rangle \rightarrow |e, 0\rangle \quad |g\rangle \rightarrow |g, 1\rangle$$

$$P_{\text{émission}} = \frac{|\langle g, 1_{\lambda, \mathbf{k}} | H_{\text{int}} | e, 0 \rangle|^2 (\delta t/2)}{\hbar^2 \Delta^2}$$

Il existe un continuum de modes  $\lambda, \mathbf{k}$

Concept de la densité de modes électromagnétiques

$$\rho(E) = \frac{dN(E)}{dE}$$

Sur un intervalle  $dE$

$$dP_{\text{émission}} = dN(E) \frac{|\langle g, 1_E | H_{\text{int}} | e, 0 \rangle|^2 \sin^2(\Delta/2)}{\Delta^2 \Delta^2}$$

Donc

$$P_{\text{émission}} = \frac{1}{\hbar^2} \int dE \rho(E) |\langle g, 1_E | H_{\text{int}} | e, 0 \rangle|^2$$

### Fonction de dirac

$$\frac{\sin^2 \Delta t/2}{\Delta^2} \xrightarrow{T \rightarrow \infty} \frac{\pi}{2} \hbar t \delta(\Delta)$$

### Taux d'émission

$$\Gamma = \frac{dP_{\text{émission}}}{dt}$$

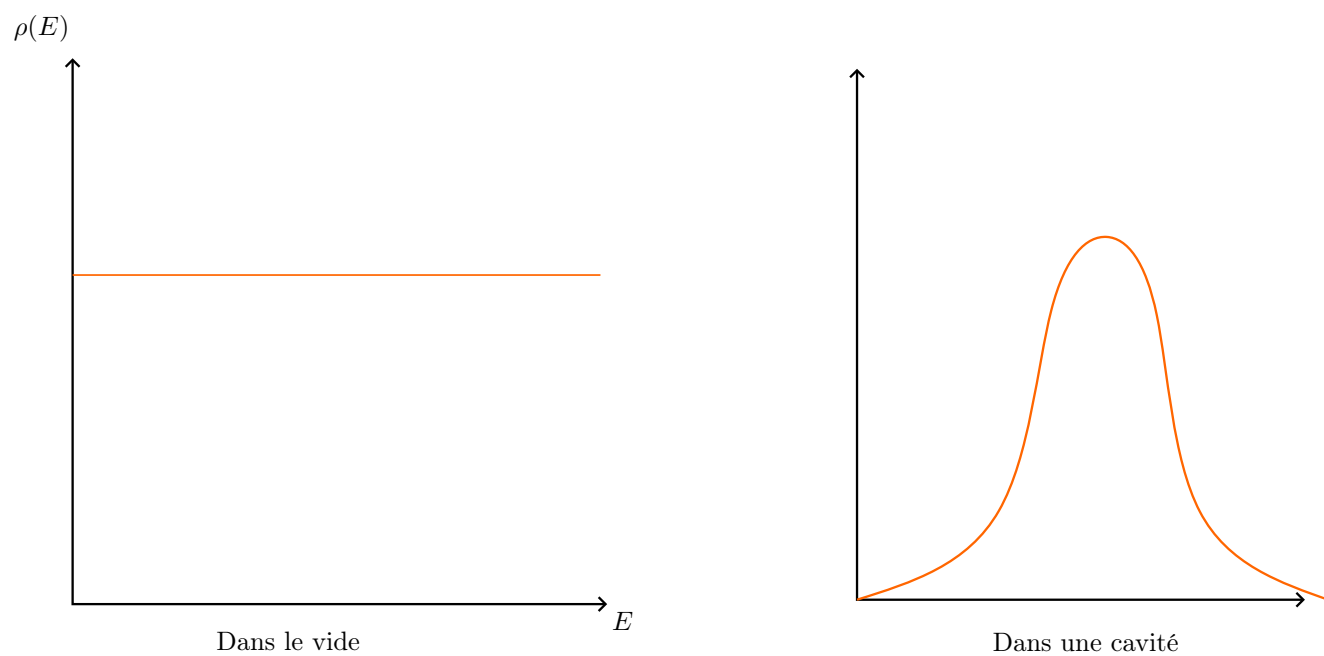


FIGURE 1 – densité

### Atome à proximité d'un miroir

## 3 Sources de photons uniques

#### Objectifs

- Importance de ce type de source
- Différentes réalisations
- Characterization en sources de photons

### 3.1 Pourquoi ?

La cryptographie quantique (BB84) est une application qui apporte énormément d'intérêt.

Une autre utilisation importante des sources de photons uniques est la production d'état quantique.

Un couplage optomécanique permet

$$|1\text{photon}, 0\text{phonon}\rangle \rightarrow |0\text{photon}, 1\text{phonon}\rangle$$

Préparation d'état plus complexes à partir d'un photon

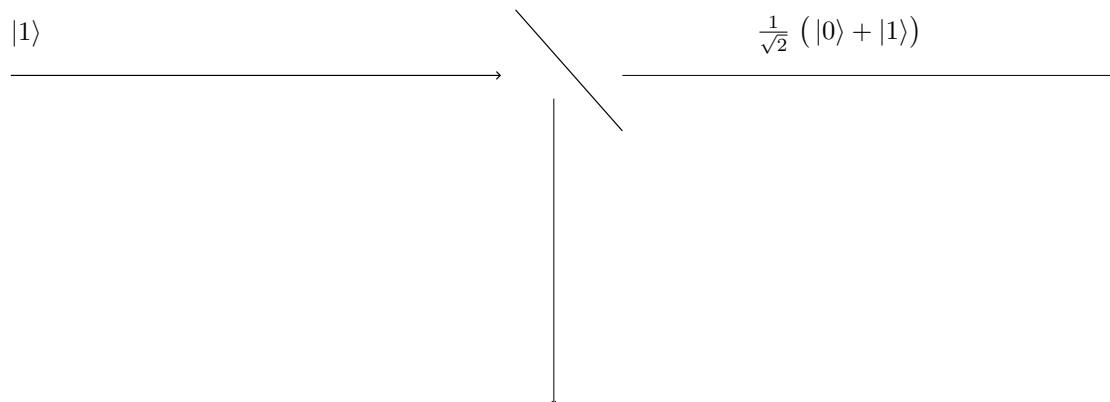


FIGURE 2 – lame séparatrice

atome à trois niveau

2 transitions permettent d'avoir un *photon annonceur*

Cependant, on a pas de contrôle sur le mode. Aussi même avec le photon annonceur, on est pas certain du temps où le second va arriver.

Pour corriger le manque de contrôle de la fréquence, on utilise une cavité. Pour qualifier la *qualité* de cette fréquence on utilise le facteur de Purcell :

$$F_p = \frac{\Gamma_{\text{cavité}}}{\Gamma_{\text{autre}} + \Gamma_{\text{cavité}}}$$

SPDC : Spontaneous Parametric Down Conversion

Cristal non-linéaire

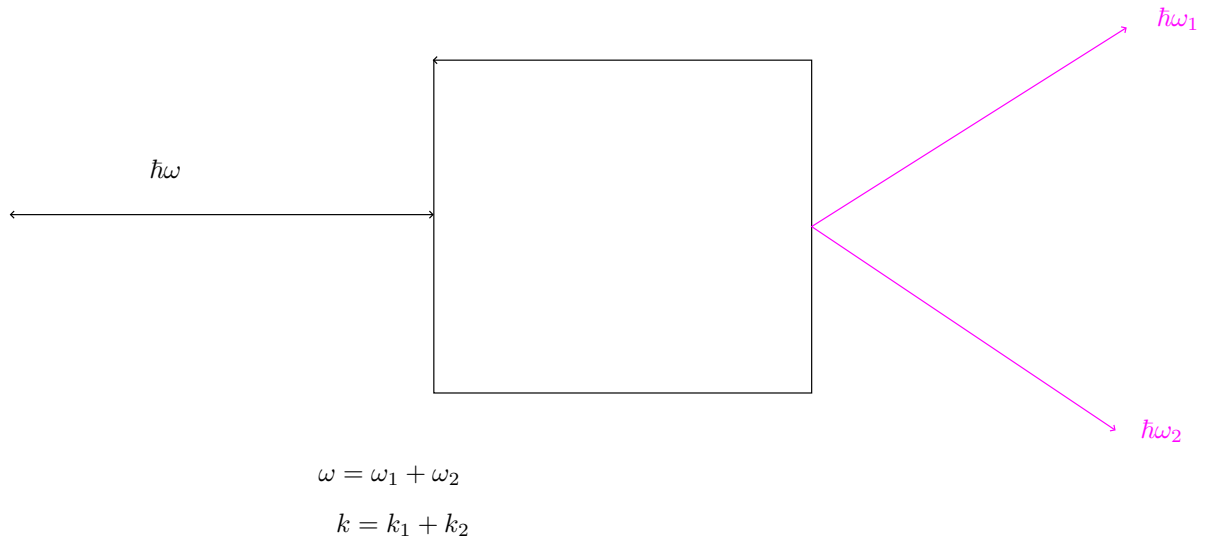


FIGURE 3 – Guy bernier

### 3.3 Optique non-linéaire

Exemple de système non-linéaire

- Doubleur de fréquence
- Laser pulsé (Q switch)
- Amplification fibré

La polarisation d'un milieu linéaire

$$P(t) = \epsilon_0 \chi^{(1)} E(t) \quad \chi^{(1)} : \text{susceptibilité}$$

Non linéaire

$$P(t) = \epsilon_0 \chi^{(1)} E(t) + \underbrace{\epsilon_0 \chi^{(2)}(t) + \epsilon_0 \chi^{(3)}(t) + \dots}_{\text{Non linéaire}}$$

$$\mathbf{E} = \mathbf{E}_0 e^{-i\omega t} + c.c.$$

$$P^{(2)}(t) = \underbrace{2\epsilon_0 \chi^{(2)} \mathbf{E}_0 \mathbf{E}_0^*}_{\text{rectification optique}} + \epsilon_0 \chi^{(2)} \underbrace{(E_0^2 e^{-2i\omega t} + E_0^{*2} e^{2i\omega t})}_{\text{génération de seconde harmonique}}$$